

# Matematyka na oko

Łukasz Płociniczak

Instytut Matematyki i Informatyki  
Politechnika Wrocławska

19.06.2013

Będlewo

Co modelowanie matematyczne może zrobić dla oka i widzenia?

# Co modelowanie matematyczne może zrobić dla oka i widzenia?

- Mruganie i łzy.
  - Zespół suchego oka (choroba po części „cywilizacyjna”: długotrwałe czytanie, jazda samochodem, soczewki...).
  - Mruganie zaciąga cienką warstwę filmu łzowego. Jak opisać ten przepływ?
  - Jak wyliczyć moment początku schnięcia łez (*Break-Up-Time*, BUT) ?

# Co modelowanie matematyczne może zrobić dla oka i widzenia?

- Mruganie i łzy.
  - Zespół suchego oka (choroba po części „cywilizacyjna”: długotrwałe czytanie, jazda samochodem, soczewki...).
  - Mruganie zaciąga cienką warstwę filmu łzowego. Jak opisać ten przepływ?
  - Jak wyliczyć moment początku schnięcia łez (*Break-Up-Time*, BUT) ?
- Przepływy cieczy wodnistej w komorach.
  - Ciecz wodnista - galaretowana substancja znajdująca się w komorach oka.
  - Jest źródłem powstania ciśnienia wewnątrzgałkowego (IOP).
  - Jej odpowiedni przepływ warunkuje prawidłowe funkcjonowanie oka.

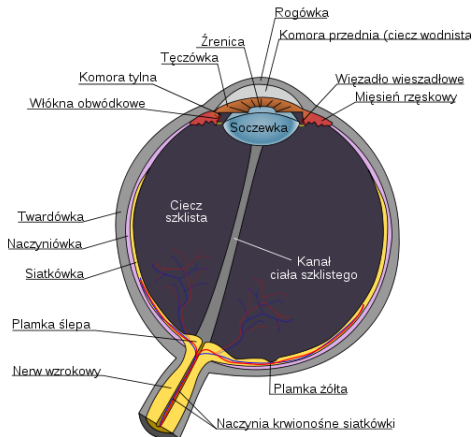
# Co modelowanie matematyczne może zrobić dla oka i widzenia?

- Mruganie i łzy.
  - Zespół suchego oka (choroba po części „cywilizacyjna”: długotrwałe czytanie, jazda samochodem, soczewki...).
  - Mruganie zaciąga cienką warstwę filmu łzowego. Jak opisać ten przepływ?
  - Jak wyliczyć moment początku schnięcia łez (*Break-Up-Time*, BUT) ?
- Przepływy cieczy wodnistej w komorach.
  - Ciecz wodnista - galaretowana substancja znajdująca się w komorach oka.
  - Jest źródłem powstania ciśnienia wewnątrzgałkowego (IOP).
  - Jej odpowiedni przepływ warunkuje prawidłowe funkcjonowanie oka.
- Tonometria i inne sposoby wyznaczania IOP.
  - IOP jest badane przy prawie każdej wizycie u okulisty.
  - Utrzymanie IOP w odpowiednich granicach jest ważne: za duże → jaskra, za małe → hipotonia oka.
  - Nieinwazyjne sposoby pomiaru IOP: być może na podstawie kształtu rogówki?

# Co modelowanie matematyczne może zrobić dla oka i widzenia?

- Mruganie i łzy.
  - Zespół suchego oka (choroba po części „cywilizacyjna”: długotrwałe czytanie, jazda samochodem, soczewki...).
  - Mruganie zaciąga cienką warstwę filmu łzowego. Jak opisać ten przepływ?
  - Jak wyliczyć moment początku schnięcia łez (*Break-Up-Time*, BUT) ?
- Przepływy cieczy wodnistej w komorach.
  - Ciecz wodnista - galaretowana substancja znajdująca się w komorach oka.
  - Jest źródłem powstania ciśnienia wewnątrzgałkowego (IOP).
  - Jej odpowiedni przepływ warunkuje prawidłowe funkcjonowanie oka.
- Tonometria i inne sposoby wyznaczania IOP.
  - IOP jest badane przy prawie każdej wizycie u okulisty.
  - Utrzymanie IOP w odpowiednich granicach jest ważne: za duże → jaskra, za małe → hipotonia oka.
  - Nieinwazyjne sposoby pomiaru IOP: być może na podstawie kształtu rogówki?
- Jaki kształt ma rogówka?

# Anatomia oka i rogówki



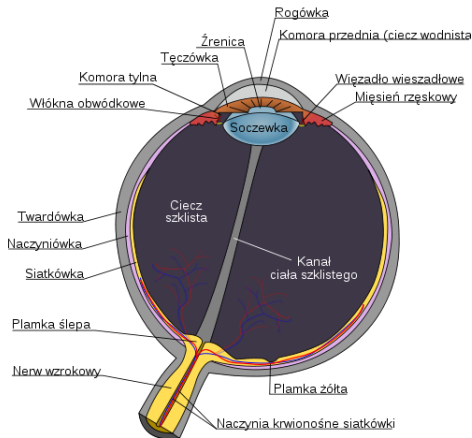
Typowe wymiary:

- wymiar oka 24mm,
- średnica rogówki 11.5mm,
- grubość rogówki 0.5 – 0.7mm,
- wysokość ok. 2mm.

Pięć warstw rogówki:

- nabłonek przedni,
- błona Bowmana,
- istota właściwa,
- błona Descementa,
- nabłonek tylni.

# Anatomia oka i rogówki



Typowe wymiary:

- wymiar oka 24mm,
- średnica rogówki 11.5mm,
- grubość rogówki 0.5 – 0.7mm,
- wysokość ok. 2mm.

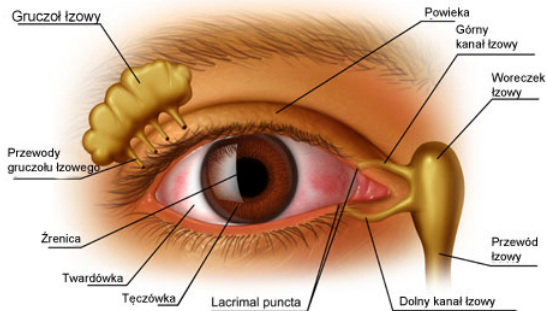
Pięć warstw rogówki:

- nabłonek przedni,
- błona Bowmana,
- istota właściwa,
- błona Descementa,
- nabłonek tylni.

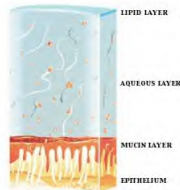
**Rogówka jest bardzo ważna - odpowiada za około  $\frac{2}{3}$  mocy widzenia!**



## Co to są łzy i jaka jest ich rola



- Nawilżają oko oraz chronią przed bakteriami.
- Skład: woda, sól (NaCl) oraz enzymy.
- Trzy warstwy łzy: lipidowa  $0.1 - 0.2\mu\text{m}$ , wodna  $4 - 10\mu\text{m}$  i śluzowa  $0.5 - 1\mu\text{m}$ .



# Mruganie i fizyka

- Mruganie rozprowadza film łzowy po powierzchni rogówki.
- Czas między mrugnięciami u zdrowego człowieka to ok. 5 – 8s (u królika aż 10min!).
- Problemy: zbyt mała produkcja łez, zbyt szybkie parowanie → „suche oko”.

# Mruganie i fizyka

- Mruganie rozprowadza film łzowy po powierzchni rogówki.
- Czas między mrugnięciami u zdrowego człowieka to ok. 5 – 8s (u królika aż 10min!).
- Problemy: zbyt mała produkcja łez, zbyt szybkie parowanie → „suche oko”.
- Trochę własności fizycznych.
  - Warstwa lipidowa łączy zapobiega nadmiernemu parowaniu. Średnie parowanie to  $15 \times 10^{-6} \text{ kg m}^2 \text{ s}^{-1}$  dla normalnych oczu i  $60 \times 10^{-6} \text{ kg m}^2 \text{ s}^{-1}$  dla oczu suchych.
  - Warstwa ta również obniża napięcie powierzchniowe: łąza-powietrze -  $43.3 \text{ mN m}^{-1}$ , woda-powietrze -  $72.3 \text{ mN m}^{-1}$ .
  - Film łzowy jest lekko pseudoplastyczny (*shear thinning*) - lepkość maleje wraz ze wzrostem naprężeń ścinania.
  - W modelowaniu głównie zakłada się, że łąza jest płynem newtonowskim i bierze się pod uwagę szereg czynników: napięcie powierzchniowe, gradienty w warstwie lipidowej, parowanie, mruganie, źródło ciepła oraz geometrię rogówki [1]

## Interludium: Przybliżenie cienkich powłok

- Tak zwana „*Lubrication Theory*”: problem Reynoldsa o oliwieniu łożysk.
- Stosowana, kiedy geometria zagadnienia jest „długa i wąska”:  $\epsilon =$  typowa grubość / typowa długość.

## Interludium: Przybliżenie cienkich powłok

- Tak zwana „*Lubrication Theory*”: problem Reynoldsa o oliwieniu łożysk.
- Stosowana, kiedy geometria zagadnienia jest „długa i wąska”:  $\epsilon =$  typowa grubość / typowa długość.
- **Przykład:** łożysko ślizgowe. Łożysko ( $y = H_0 h(x/L)$ ) jest nieruchome a podłoże  $y = 0$  się ślizga z prędkością  $U$ .

## Interludium: Przybliżenie cienkich powłok

- Tak zwana „*Lubrication Theory*”: problem Reynoldsa o oliwieniu łożysk.
- Stosowana, kiedy geometria zagadnienia jest „długa i wąska”:  $\epsilon =$  typowa grubość / typowa długość.
- **Przykład**: łożysko ślizgowe. Łożysko ( $y = H_0 h(x/L)$ ) jest nieruchome a podłoże  $y = 0$  się ślizga z prędkością  $U$ .
- Wprowadzamy skalowania:

$$\epsilon = \frac{H_0}{L}, \quad u^* = \frac{u}{U}, \quad v^* = \frac{v}{\epsilon U}, \quad t^* = \frac{t}{L/U}, \quad p^* = \frac{p}{\mu UL/H_0^2}, \quad Re' = \epsilon^2 \frac{UL}{\nu}.$$

x-owa składowa bezwymiarowego równania Naviera-Stokesa ma wtedy postać (opuszczając gwiazdki):

$$\frac{\partial u}{\partial t} + u \frac{\partial u}{\partial x} + v \frac{\partial u}{\partial y} = \frac{1}{Re'} \left( -\frac{\partial p}{\partial x} + \epsilon^2 \frac{\partial^2 u}{\partial x^2} + \frac{\partial^2 u}{\partial y^2} \right).$$

## Interludium: Przybliżenie cienkich powłok

- Tak zwana „*Lubrication Theory*”: problem Reynoldsa o oliwieniu łożysk.
- Stosowana, kiedy geometria zagadnienia jest „długa i wąska”:  $\epsilon =$  typowa grubość / typowa długość.
- **Przykład**: łożysko ślizgowe. Łożysko ( $y = H_0 h(x/L)$ ) jest nieruchome a podłoże  $y = 0$  się ślizga z prędkością  $U$ .
- Wprowadzamy skalowania:

$$\epsilon = \frac{H_0}{L}, \quad u^* = \frac{u}{U}, \quad v^* = \frac{v}{\epsilon U}, \quad t^* = \frac{t}{L/U}, \quad p^* = \frac{p}{\mu UL/H_0^2}, \quad Re' = \epsilon^2 \frac{UL}{\nu}.$$

x-owa składowa bezwymiarowego równania Naviera-Stokesa ma wtedy postać (opuszczając gwiazdki):

$$\frac{\partial u}{\partial t} + u \frac{\partial u}{\partial x} + v \frac{\partial u}{\partial y} = \frac{1}{Re'} \left( -\frac{\partial p}{\partial x} + \epsilon^2 \frac{\partial^2 u}{\partial x^2} + \frac{\partial^2 u}{\partial y^2} \right).$$

- Korzystając z równania ciągłości dostajemy **Równanie Reynoldsa**:

$$\frac{d}{dx} \left( h^3 \frac{\partial p}{\partial x} \right) = 6 \frac{\partial h}{\partial x}.$$

## *Break-up time (BUT)*

- Jest zdefiniowany zwykle jako czas wystąpienia pierwszego suchego obszaru zaraz po mrugnieniu.
- Ważny parametr mierzony często przez okulistów. Bardzo zależny od warunków, ale zwykle wynosi 20 – 30s.



## *Break-up time (BUT)*

- Jest zdefiniowany zwykle jako czas wystąpienia pierwszego suchego obszaru zaraz po mrugnieniu.
- Ważny parametr mierzony często przez okulistów. Bardzo zależny od warunków, ale zwykle wynosi 20 – 30s.
- Bardzo dobre oszacowania na BUT otrzymali Braun i Fitt w [2] .
- Model: przybliżenie cienkich warstw ( $\epsilon = d/l =$  wymiar  $x$ -owy / wymiar  $y$ -kowy) dla równania Naviera-Stokesa + parowanie i grawitacja.

## Break-up time (BUT)

- Jest zdefiniowany zwykle jako czas wystąpienia pierwszego suchego obszaru zaraz po mrugnieniu.
- Ważny parametr mierzony często przez okulistów. Bardzo zależny od warunków, ale zwykle wynosi 20 – 30s.
- Bardzo dobre oszacowania na BUT otrzymali Braun i Fitt w [2] .
- Model: przybliżenie cienkich warstw ( $\epsilon = d/l =$  wymiar  $x$ -owy / wymiar  $y$ -kowy) dla równania Naviera-Stokesa + parowanie i grawitacja.
- Typowe skale:

$$d = 10\mu\text{m}, \quad l = 0.36\text{mm}, \quad \epsilon = 0.028, \quad G = 0.75, \quad U = 0.75\text{mms}^{-1}, \quad \text{Re} = 0.2.$$

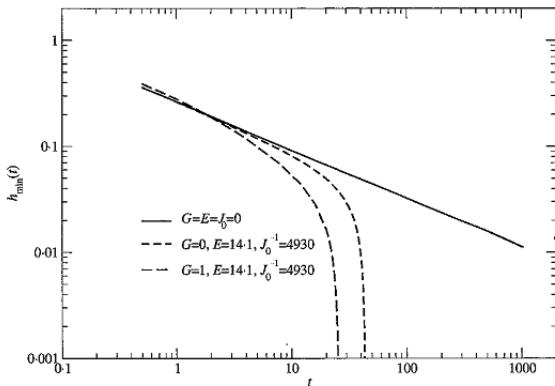
- Główne równanie modelu dla swobodnego brzegu:

$$h_t + \frac{E}{J_0^{-1} + h} + \left[ \frac{h^3}{12} (h_{xxx} + G) \right]_x = 0,$$

gdzie  $E, J_0$  - stałe związane z temperaturą i parowaniem.

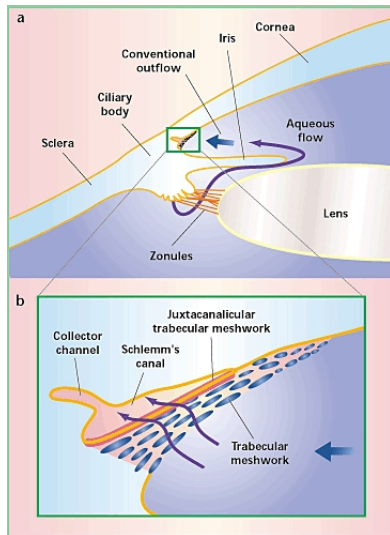
## Break-up time (BUT) c.d.

- Braun i Fitt rozwiązyli równanie numerycznie na siatce złożonej z 4000 punktów. Za BUT przyjęli czas, w którym  $h$  było mniejsze niż wielkość siatki.



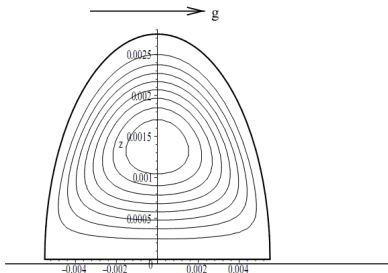
# Przepływy w komorach oka

- Komora przednia oka - obszar pomiędzy tęczęwką a rogówką. Komora tylna - obszar pomiędzy tęczęwką a soczewką.
- Ciecz wodnista (*aqueous humour*) - płyn wypełniający komory (ok.  $0.3 \text{ cm}^3$ ). Usuwa produkty przemiany materii, odżywia oraz zapewnia IOP.
- Jest przezroczysta i galaretowata. Składa się z wody oraz aminokwasów.
- Produkuje ją wyrostek rzęskowy, skąd płynie przez tylną komorę oraz źrenicę i jest usuwana w komorze Schlemma.
- Musi być zachowana (!) - tyle usuwanej, co produkowanej.
- Jak ten przepływ opisać **matematycznie?**



## Przepływy w komorach oka c.d.

- Czym przepływ cieczy wodnistej może być spowodowany? [3,4] .
  - Siła wyporu powstała jako wynik gradientu temperatury pomiędzy tęczówką a komorą przednią.
  - Strumień wyprodukowany przez wyrostek rzęskowy.
  - Oddziaływanie wyporność-grawitacja w pozycji poziomej (np. podczas spania).
  - Faza REM snu.

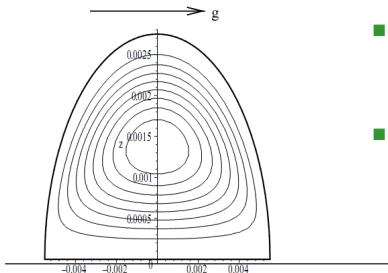


[3] A.D.Fitt, G.Gonzalez, *Fluid Mechanics of the Human Eye: Aqueous Humour Flow in the Anterior Chamber*

[4] C.R.Canning, *Fluid flow in the anterior chamber of a human eye*

## Przepływy w komorach oka c.d.

- Czym przepływ cieczy wodnistej może być spowodowany? [3,4] .
  - Siła wyporu powstała jako wynik gradientu temperatury pomiędzy tęczówką a komorą przednią.
  - Strumień wyprodukowany przez wyrostek rzęskowy.
  - Oddziaływanie wyporność-grawitacja w pozycji poziomej (np. podczas spania).
  - Faza REM snu.



- Najprostszy model: równania N-S, równanie ciepła + aproksymacja Bussinesqua oraz „teoria lubrykacji”.
- Można otrzymać dokładne rozwiązanie, np.

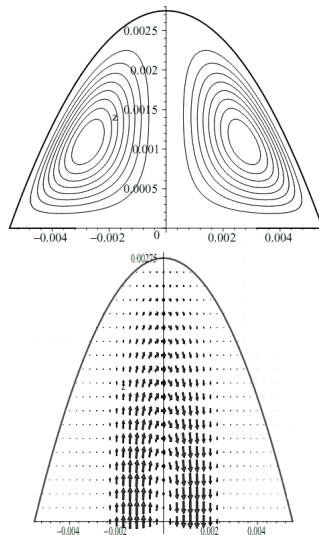
$$\psi = -\frac{(T_1 - T_0)g\alpha z^2(z - h)^2}{24\nu h}$$

[3] A.D.Fitt, G.Gonzalez, *Fluid Mechanics of the Human Eye: Aqueous Humour Flow in the Anterior Chamber*

[4] C.R.Canning, *Fluid flow in the anterior chamber of a human eye*

## Przepływy w komorach oka c.d.

- Kiedy pacjent śpi, ukrwienie oka nie koniecznie musi spowodować wyrównanie się temperatury.
- Następuje bardzo słaby przepływ spowodowany grawitacją i małym gradientem temperatury.
- Fakodeneza - wibracje soczewki spowodowane ruchami głowy.
- Wibracje te muszą być odpowiednio małe, ale zapewnić dobre widzenie.
- Fitt i Gonzalez założyli okresową prędkość „wpompowywania” cieczy przez źrenicę.
- Przepływ jest istotnie 3-wymiarowy.



# Przepływy w komorach oka c.d. (Kanał Schlemma)



## Przepływy w komorach oka c.d. (Kanał Schlemma)

- Kiedy w przedniej komorze oka występuje za dużo ciecz wodnistej (np. „zatkany” kanał Schlemma), ciśnienie wzrasta.
- POAG (*Primary Open Angle Glaucoma*) - jaskra z otwartym kątem przesączania → postępujące i trwałe uszkodzenie nerwu wzrokowego → ślepotą.

## Przepływy w komorach oka c.d. (Kanał Schlemma)

- Kiedy w przedniej komorze oka występuje za dużo cieczy wodnistej (np. „zatkany” kanał Schlemma), ciśnienie wzrasta.
- POAG (*Primary Open Angle Glaucoma*) - jaskra z otwartym kątem przesączania → postępujące i trwałe uszkodzenie nerwu wzrokowego → ślepota.
- W pracy [5] autorzy korzystają z Prawa Friedenwalda (związek między IOP a objętością oka) oraz teorii cienkich warstw:

$$(FL) \quad p_1 = p_2 \exp(K \ln 10(V_1 - V_2)).$$

## Przepływy w komorach oka c.d. (Kanał Schlemma)

- Kiedy w przedniej komorze oka występuje za dużo ciecz wodnistej (np. „zatkany” kanał Schlemma), ciśnienie wzrasta.
- POAG (*Primary Open Angle Glaucoma*) - jaskra z otwartym kątem przesączania → postępujące i trwałe uszkodzenie nerwu wzrokowego → ślepotą.
- W pracy [5] autorzy korzystają z Prawa Friedenwalda (związek między IOP a objętością oka) oraz teorii cienkich warstw:

$$(FL) \quad p_1 = p_2 \exp(K \ln 10(V_1 - V_2)).$$

- Otrzymali równanie opisujące wzrost ciśnienia wewnątrzgałkowego spowodowane zatkaniem kanału Schlemma:

$$\frac{dp}{dt} \approx Kp \frac{dV_{in}}{dt}.$$

- Zatkanie kanału może doprowadzić do dowolnie dużego przyrostu ciśnienia → jaskra i ślepotą.

IOP

# IOP

- Utrzymuje odpowiedni kształt oka.
- Typowe IOP: 10 – 20mmHg. Jeśli  $IOP > 25\text{mmHg}$  może wystąpić jaskra (albo gorzej...). Jeśli  $IOP < 10\text{mmHg}$  następuje rozstrojenie współpracy soczewki z rogówką (albo gorzej...).

# IOP

- Utrzymuje odpowiedni kształt oka.
- Typowe IOP: 10 – 20mmHg. Jeśli  $IOP > 25\text{mmHg}$  może wystąpić jaskra (albo gorzej...). Jeśli  $IOP < 10\text{mmHg}$  następuje rozstrojenie współpracy soczewki z rogówką (albo gorzej...).
- Koniecznym jest dokładne zbadanie aktualnego IOP, które jest wrażliwe na panujące warunki. Pomiarami zajmuje się **Tonometria**.
- Istnieje kilka technik pomiarowych:
  - od bardzo inwazyjnych (operacyjnie),
  - przez inwazyjne np. Tonometr Goldmana,
  - do mniej inwazyjnych np. dmuchnięcie powietrzem.

# IOP

- Utrzymuje odpowiedni kształt oka.
- Typowe IOP: 10 – 20mmHg. Jeśli  $IOP > 25\text{mmHg}$  może wystąpić jaskra (albo gorzej...). Jeśli  $IOP < 10\text{mmHg}$  następuje rozstrojenie współpracy soczewki z rogówką (albo gorzej...).
- Koniecznym jest dokładne zbadanie aktualnego IOP, które jest wrażliwe na panujące warunki. Pomiarami zajmuje się **Tonometria**.
- Istnieje kilka technik pomiarowych:
  - od bardzo inwazyjnych (operacyjnie),
  - przez inwazyjne np. Tonometr Goldmana,
  - do mniej inwazyjnych np. dmuchnięcie powietrzem.
- „Prawo” Imberta-Ficka (tak naprawdę III zasada dynamiki Newtona zastosowana „na siłę”):  $IOP = \text{wielkość siły (w gramach) potrzebna do spłaszczenia koła o promieniu } 3.06\text{mm na rogówce [6]}$ .
- Wady: błędne postawy fizyczne, nie najlepsza dokładność zwłaszcza dla wysokiego IOP, nieprzyjemne dla pacjenta, ...

# IOP

- Utrzymuje odpowiedni kształt oka.
- Typowe IOP: 10 – 20mmHg. Jeśli  $IOP > 25\text{mmHg}$  może wystąpić jaskra (albo gorzej...). Jeśli  $IOP < 10\text{mmHg}$  następuje rozstrojenie współpracy soczewki z rogówką (albo gorzej...).
- Koniecznym jest dokładne zbadanie aktualnego IOP, które jest wrażliwe na panujące warunki. Pomiarami zajmuje się **Tonometria**.
- Istnieje kilka technik pomiarowych:
  - od bardzo inwazyjnych (operacyjnie),
  - przez inwazyjne np. Tonometr Goldmana,
  - do mniej inwazyjnych np. dmuchnięcie powietrzem.
- „Prawo” Imberta-Ficka (tak naprawdę III zasada dynamiki Newtona zastosowana „na siłę”):  $IOP = \text{wielkość siły (w gramach) potrzebna do spłaszczenia koła o promieniu } 3.06\text{mm na rogówce [6]}$ .
- Wady: błędne postawy fizyczne, nie najlepsza dokładność zwłaszcza dla wysokiego IOP, nieprzyjemne dla pacjenta, ...
- Pomiar tylko na podstawie **kształtu** rogówki?



# Jaki kształt ma rogówka?

Współczesne modele kształtu rogówki oka:

- Najprostsze: oparte na krzywych stożkowych: głównie parabolach lub elipsach (Helmholtz, 1924) (statystycznie poprawne).
- Bardzo skomplikowane: oparte na teorii powłok oraz na FEM.
- Modele oparte na wielomianach Zernike'go (1934) - opisują aberrację. Ostatnio używane są również funkcje Bessela [7].
- Rzeczywiste modele oczu.

## Literatura przeglądowa

1. Fowler CW, Dave TN., *Review of past and present techniques of measuring corneal topography*, *Ophthalmic Physiol Opt.* 14(1) (1994), 49–58,
2. Lindsay R, Smith G, Atchison D., *Descriptors of corneal shape*, *Optom Vis Sci.* 75(2) (1998), 156–8.
3. Y. Mejía-Barbosa, D. Malacara-Hernández, *A review of methods for measuring corneal topography*, *Optometry and Vision Science* 78 (2001), 240–253,

## Nowy model

Główne założenia modelu [8]

- Rogówka jest cienką membraną (stałe napięcie powierzchniowe i brak momentów skręcających).
- Trzy siły wpływają na kształt rogówki: napięcie powierzchniowe, sprężystość i siła pochodząca od ciśnienia wewnątrzgałkowego.
- W modelu opisujemy położenie rogówki  $h$  nad płaszczyzną odniesienia  $\Omega$  (u nas koło).

Równanie kształtu rogówki (w postaci bezwymiarowej)

$$-\nabla^2 h + ah = \frac{b}{\sqrt{1 + \|\nabla h\|^2}} \quad \text{na } \Omega, \quad h = 0 \text{ na } \partial\Omega,$$

gdzie  $h$ -unormowane,  $a := \frac{kR^2}{T}$  i  $b := \frac{PR}{T}$  oraz  $k$ -współczynnik sprężystości,  $T$ -naprężenie,  $P$ -ciśnienie wewnątrzgałkowe,  $R$ -typowy rozmiar rogówki.

## Zagadnienie „wprost”

**Jak ze znajomości  $a$  oraz  $b$  znaleźć kształt rogówki  $h$ ?**

- Zakładamy symetrię osiową  $h = h(r)$  wtedy  $a$  oraz  $b$  muszą być stałe.
- Rozwiązujemy zagadnienie

$$-\frac{1}{r} \frac{d}{dr} \left( r \frac{dh}{dr} \right) + ah = \frac{b}{\sqrt{1+h^2}}, \quad 0 \leq r \leq 1, \quad h'(0) = 0, \quad h(1) = 0. \quad (1)$$

## Zagadnienie „wprost”

Jak ze znajomości  $a$  oraz  $b$  znaleźć kształt rogówki  $h$ ?

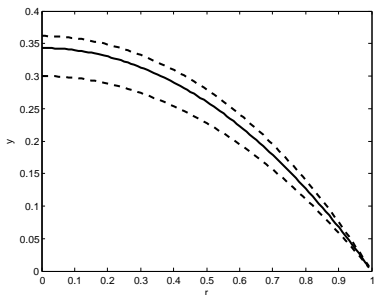
- Zakładamy symetrię osiową  $h = h(r)$  wtedy  $a$  oraz  $b$  muszą być stałe.
- Rozwiązujemy zagadnienie

$$-\frac{1}{r} \frac{d}{dr} \left( r \frac{dh}{dr} \right) + ah = \frac{b}{\sqrt{1+h^2}}, \quad 0 \leq r \leq 1, \quad h'(0) = 0, \quad h(1) = 0. \quad (1)$$

- Dla odpowiednio małego  $b$  mamy istnienie, jednoznaczność, monotoniczność oraz podstawowe oszacowania rozwiązania (1) przez

$$h_0(r) := \frac{b}{a} \left( 1 - \frac{I_0(\sqrt{ar})}{I_0(\sqrt{a})} \right),$$

gdzie  $I_0$  jest zmodyfikowaną funkcją Bessela pierwszego rodzaju.



## Zagadnienie „wprost”

Jak ze znajomości  $a$  oraz  $b$  znaleźć kształt rogówki  $h$ ?

- Zakładamy symetrię osiową  $h = h(r)$  wtedy  $a$  oraz  $b$  muszą być stałe.
- Rozwiązujemy zagadnienie

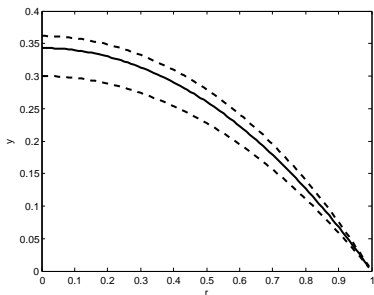
$$-\frac{1}{r} \frac{d}{dr} \left( r \frac{dh}{dr} \right) + ah = \frac{b}{\sqrt{1+h^2}}, \quad 0 \leq r \leq 1, \quad h'(0) = 0, \quad h(1) = 0. \quad (1)$$

- Dla odpowiednio małego  $b$  mamy istnienie, jednoznaczność, monotoniczność oraz podstawowe oszacowania rozwiązania (1) przez

$$h_0(r) := \frac{b}{a} \left( 1 - \frac{I_0(\sqrt{ar})}{I_0(\sqrt{a})} \right),$$

gdzie  $I_0$  jest zmodyfikowaną funkcją Bessela pierwszego rodzaju.

- Dla małych parametrów  $a$  rozwiązanie (1) jest parabolą.



## Zagadnienie „wprost” c.d.

### Twierdzenie 1

Niech  $b \leq \frac{\sqrt{a}}{h_1(\sqrt{a})} \frac{\sqrt{2l_0(\sqrt{a})-1}}{l_0(\sqrt{a})-1}$ . Rozwiązanie zagadnienia (1) jest dodatnią, nierosnącą funkcją  $h$ , dla której zachodzą

$$Ah_1 \leq h \leq h_0,$$

gdzie  $h_0$  jest zdefiniowana wzorem

$$h_0(r) := \frac{b}{a} \left( 1 - \frac{l_0(\sqrt{ar})}{l_0(\sqrt{a})} \right),$$

oraz  $h_1$  jest kolejnym elementem w ciągu kolejnych przybliżeń. Ponadto,

$$A = \sqrt{\frac{1 + h'_0(1)^2}{1 + \left(2 - \frac{1}{l_0(\sqrt{a})}\right) h'_0(1)^2}}.$$

# Zagadnienia odwrotne

## Jak znaleźć wartości $a$ i $b$ znając $h$ ?

- Problemy tego typu są zwykle **źle postawione**, czyli takie, które nie spełniają któregoś z poniższych warunków
  - mają rozwiązanie,
  - mają dokładnie jedno rozwiązanie,
  - mały błąd w danych wejściowych powoduje mały błąd w danych wyjściowych (stabilność).

# Zagadnienia odwrotne

## Jak znaleźć wartości $a$ i $b$ znając $h$ ?

- Problemy tego typu są zwykle **źle postawione**, czyli takie, które nie spełniają któregoś z poniższych warunków
  - mają rozwiązanie,
  - mają dokładnie jedno rozwiązanie,
  - mały błąd w danych wejściowych powoduje mały błąd w danych wyjściowych (stabilność).
- W naszym przypadku rozważamy dwa zagadnienia:
  1.  $a$  i  $b$  są stałe i nieznane  $\rightarrow$  problem nieliniowy,
  2.  $a$  jest stałe i znane a  $b$  (niekoniecznie stałe) musimy znaleźć  $\rightarrow$  problem liniowy .



# Zagadnienia odwrotne

## Jak znaleźć wartości $a$ i $b$ znając $h$ ?

- Problemy tego typu są zwykle **źle postawione**, czyli takie, które nie spełniają któregoś z poniższych warunków
  - mają rozwiązanie,
  - mają dokładnie jedno rozwiązanie,
  - mały błąd w danych wejściowych powoduje mały błąd w danych wyjściowych (stabilność).
- W naszym przypadku rozważamy dwa zagadnienia:
  1.  $a$  i  $b$  są stałe i nieznane  $\rightarrow$  problem nieliniowy,
  2.  $a$  jest stałe i znane a  $b$  (niekoniecznie stałe) musimy znaleźć  $\rightarrow$  problem liniowy .
- **Uwaga:** Nie możemy liczyć na jednoznaczne rozwiązanie - szukamy rozwiązania w sensie normy  $L^2$  (najmniejszych kwadratów).

## Nieliniowy problem odwrotny ( $a$ , $b$ stałe i nieznanne)

W kolejnych rozważaniach zakładamy, że krzywizna rogówki jest mała. Upraszcza to nasze równanie

$$-\frac{1}{r} \frac{\partial}{\partial r} \left( r \frac{\partial h}{\partial r} \right) + ah = b, \quad h'(0) = 1, \quad h(1) = 0.$$

## Nieliniowy problem odwrotny ( $a$ , $b$ stałe i nieznanne)

W kolejnych rozważaniach zakładamy, że krzywizna rogówki jest mała. Upraszcza to nasze równanie

$$-\frac{1}{r} \frac{\partial}{\partial r} \left( r \frac{\partial h}{\partial r} \right) + ah = b, \quad h'(0) = 1, \quad h(1) = 0.$$

- Problem nieliniowy rozwiązujemy w dwóch krokach [10] :

1. Najpierw znajdujemy

$$b^\dagger = b^\dagger(a) = \frac{\langle f(a, \cdot), h \rangle}{\|f(a, \cdot)\|^2},$$

$$\text{gdzie } f(a, r) := \frac{b}{a} \left( 1 - \frac{\ln(\sqrt{ar})}{\ln(\sqrt{a})} \right).$$

## Nieliniowy problem odwrotny ( $a$ , $b$ stałe i nieznanne)

W kolejnych rozważaniach zakładając będziemy, że krzywizna rogówki jest mała. Upraszcza to nasze równanie

$$-\frac{1}{r} \frac{\partial}{\partial r} \left( r \frac{\partial h}{\partial r} \right) + ah = b, \quad h'(0) = 1, \quad h(1) = 0.$$

- Problem nieliniowy rozwiązujemy w dwóch krokach [10] :

1. Najpierw znajdujemy

$$b^\dagger = b^\dagger(a) = \frac{\langle f(a, \cdot), h \rangle}{\|f(a, \cdot)\|^2},$$

gdzie  $f(a, r) := \frac{b}{a} \left( 1 - \frac{\ln(\sqrt{ar})}{\ln(\sqrt{a})} \right)$ .

2. Potem rozwiązujemy nieliniowy problem polegający na znalezieniu  $a$ . Stosujemy metodę iteracyjną podobną do metody stycznych Newtona (nowy dowód zbieżności)

$$a_{n+1} = a_n + \Delta a_n, \quad \Delta a_n = \frac{\langle h - f(a_n, \cdot), \frac{\partial}{\partial a} b^\dagger(a) f(a; \cdot) \rangle}{\left\| \frac{\partial}{\partial a} b^\dagger(a) f(a; \cdot) \right\|^2}.$$

Liniowy problem odwrotny ( $a$  stałe i znane,  $b$  nieznane)

$$-\frac{1}{r} \frac{\partial}{\partial r} \left( r \frac{\partial h}{\partial r} \right) + \frac{1}{r^2} \frac{\partial^2 h}{\partial \theta^2} + ah = b, \quad h|_{\partial\Omega} = 0,$$

gdzie  $\partial\Omega$  jest okręgiem jednostkowym.

Liniowy problem odwrotny ( $a$  stałe i znane,  $b$  nieznane)

$$-\frac{1}{r} \frac{\partial}{\partial r} \left( r \frac{\partial h}{\partial r} \right) + \frac{1}{r^2} \frac{\partial^2 h}{\partial \theta^2} + ah = b, \quad h|_{\partial\Omega} = 0,$$

gdzie  $\partial\Omega$  jest okręgiem jednostkowym.

- Używamy funkcji własnych [9]  $\Phi_{nm}(r, \theta) := \frac{1}{\sqrt{4\pi}} \frac{I_n(\mu_{nm}r)}{I_{n+1}(\mu_{nm})} e^{in\theta}$ ,  
gdzie  $\mu_{nm}$  jest  $m$ -tym zerem funkcji  $I_n$  (zmodyfikowana funkcja Bessela pierwszego rodzaju rzędu  $n$ ).

Liniowy problem odwrotny ( $a$  stałe i znane,  $b$  nieznane)

$$-\frac{1}{r} \frac{\partial}{\partial r} \left( r \frac{\partial h}{\partial r} \right) + \frac{1}{r^2} \frac{\partial^2 h}{\partial \theta^2} + ah = b, \quad h|_{\partial\Omega} = 0,$$

gdzie  $\partial\Omega$  jest okręgiem jednostkowym.

- Używamy funkcji własnych [9]  $\Phi_{nm}(r, \theta) := \frac{1}{\sqrt{4\pi}} \frac{I_n(\mu_{nm}r)}{I_{n+1}(\mu_{nm})} e^{in\theta}$ ,  
gdzie  $\mu_{nm}$  jest  $m$ -tym zerem funkcji  $I_n$  (zmodyfikowana funkcja Bessela pierwszego rodzaju rzędu  $n$ ).
- Rozwiązanie problemu odwrotnego  $b^\dagger = \sum_{n,m} (a - \mu_{nm}^2) \langle h, \Phi_{nm} \rangle \Phi_{nm}$ .

Liniowy problem odwrotny ( $a$  stałe i znane,  $b$  nieznane)

$$-\frac{1}{r} \frac{\partial}{\partial r} \left( r \frac{\partial h}{\partial r} \right) + \frac{1}{r^2} \frac{\partial^2 h}{\partial \theta^2} + ah = b, \quad h|_{\partial\Omega} = 0,$$

gdzie  $\partial\Omega$  jest okręgiem jednostkowym.

- Używamy funkcji własnych [9]  $\Phi_{nm}(r, \theta) := \frac{1}{\sqrt{4\pi}} \frac{I_n(\mu_{nm}r)}{I_{n+1}(\mu_{nm})} e^{in\theta}$ ,  
gdzie  $\mu_{nm}$  jest  $m$ -tym zerem funkcji  $I_n$  (zmodyfikowana funkcja Bessela pierwszego rodzaju rzędu  $n$ ).
- Rozwiązanie problemu odwrotnego  $b^\dagger = \sum_{n,m} (a - \mu_{nm}^2) \langle h, \Phi_{nm} \rangle \Phi_{nm}$ .
- **Uwaga:**  $a - \mu_{nm}^2 \rightarrow \infty$ , co powoduje utratę stabilności: mały błąd w  $h$  spowoduje utratę zbieżności szeregu.



Liniowy problem odwrotny ( $a$  stałe i znane,  $b$  nieznane)

$$-\frac{1}{r} \frac{\partial}{\partial r} \left( r \frac{\partial h}{\partial r} \right) + \frac{1}{r^2} \frac{\partial^2 h}{\partial \theta^2} + ah = b, \quad h|_{\partial\Omega} = 0,$$

gdzie  $\partial\Omega$  jest okręgiem jednostkowym.

- Używamy funkcji własnych [9]  $\Phi_{nm}(r, \theta) := \frac{1}{\sqrt{4\pi}} \frac{I_n(\mu_{nm}r)}{I_{n+1}(\mu_{nm})} e^{in\theta}$ ,  
gdzie  $\mu_{nm}$  jest  $m$ -tym zerem funkcji  $I_n$  (zmodyfikowana funkcja Bessela pierwszego rodzaju rzędu  $n$ ).
- Rozwiązanie problemu odwrotnego  $b^\dagger = \sum_{n,m} (a - \mu_{nm}^2) \langle h, \Phi_{nm} \rangle \Phi_{nm}$ .
- **Uwaga:**  $a - \mu_{nm}^2 \rightarrow \infty$ , co powoduje utratę stabilności: mały błąd w  $h$  spowoduje utratę zbieżności szeregu.
- Konieczna jest regularyzacja

$$b_{\alpha, T(N, M)} := \sum_{\substack{n=-N, \\ m=1}}^{N, M} \frac{\langle h, \Phi_{nm} \rangle}{\alpha + \frac{1}{a - \mu_{nm}^2}} \Phi_{nm}.$$

## Przypadek ogólny c.d.

**Jak bardzo  $b_{\alpha, T}^{\delta}$  różni się od rzeczywistej wartości  $b$ ?** (Jeśli  $\|h^{\delta} - h\| \leq \delta$ ).

### Twierdzenie 2

Mamy

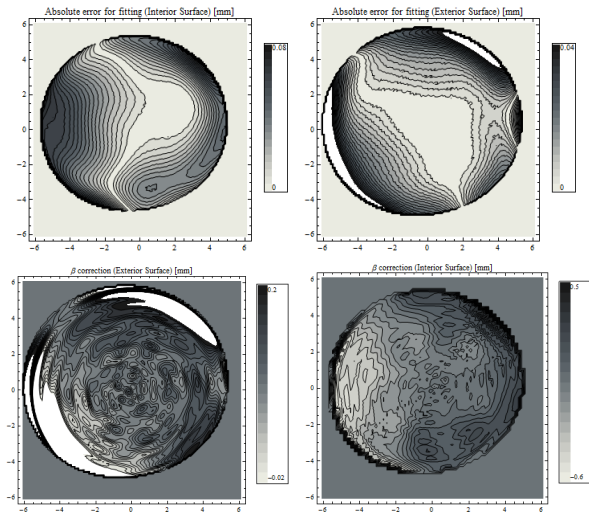
$$\left\| b_{\alpha, T(N, M)}^{\delta} - b \right\| \leq 2\sqrt{D\delta},$$

jeśli tylko  $\alpha = \alpha(\delta)$ ,  $N = N(\delta)$ ,  $M = M(\delta)$  są wybrane tak, aby

$$\alpha + C(N, M) = \sqrt{\frac{\delta}{D}},$$

gdzie  $\|y\| \leq D$  oraz  $C(N, M) := \inf \left\{ \frac{1}{a - \mu_{nm}^2} : |n| \leq N, m \leq M \right\}$ .

# Numeryka



Błędy dopasowania,  
przy  $a_0$  i  $b_0$  stałych.

$\beta$ , gdzie  $b = b_0 + \beta$ .

## Podsumowanie

- Modelowanie matematyczne w zagadnieniach związanych z okiem jest bardzo potrzebne.
- Jest źródłem bardzo ciekawych i nietrywialnych problemów z wielu dziedzin matematyki.
- Przyszła rewolucja w medycynie oka zależy głównie od matematyki.
- Otrzymaliśmy nowy, łatwy do zastosowania, model topografii rogówki oparty na podstawach fizycznych.
- Przedstawiliśmy nową, szybką metodę iteracyjną wyznaczania nieznanymi parametrów w zagadnieniu odwrotnym.
  - Metody znalezienia  $a$  i  $b$  pozwalają na dopasowanie modelu do danych (z małym błędem).
  - Współczynniki  $a$  i  $b$  są związane z mierzalnymi parametrami rogówki oka, przez co mogą mieć znaczenie w diagnostyce i leczeniu różnych chorób widzenia.
  - Funkcja  $\beta$  zawiera informację o odstępstwach topografii rogówki od symetrii obrotowej.

## Bibliografia

1. R.J.Braun et al., *Thin film dynamics on a prolate spheroid with application to the cornea*, J Eng Math (2012) 73:121–138
2. R.J.Braun, A.D.Fitt, *Modelling drainage of the precorneal tear film after a blink*, Mathematical Medicine and Biology 20 (2003), 1-28
3. A.D.Fitt, G.Gonzalez, *Fluid Mechanics of the Human Eye: Aqueous Humour Flow in the Anterior Chamber*, Bulletin of Mathematical Biology (2006)
4. C.R.Canning et al., *Fluid flow in the anterior chamber of a human eye*, IMA Journal of Mathematics Applied in Medicine and Biology 19 (2002), 31-60
5. Z.Ismail, A.D.Fitt, *Mathematical modelling of flow in Schlemm's Canal and its influence on primary open angle glaucoma*, International Conference on Science and Technology: Applications in Industry and Education (2008)
6. H.H. Markiewitz, *The so-called Imbert-Fick Law*, AMA Arch.Ophthalmol. 1960; 64: 189/159.
7. J.P. Trevino et al., *Zernike vs. Bessel circular functions in visual optics*, Ophthalmic and Physiological Optics, 2013

## Bibliografia c.d.

8. W.Okrański, Ł.Płociniczak, *A Nonlinear Mathematical Model of the Corneal Shape*, *Nonlinear Analysis: Real World Applications* 13 (2012) pp. 1498-1505
9. Ł.Płociniczak, W.Okrański, *Regularization of an Ill-posed Model in Corneal Topography*, *Inverse Problems in Science and Engineering* (2013), DOI: 10.1080/17415977.2012.753443,
10. W.Okrański, Ł.Płociniczak, *Nonlinear Parameter Identification in a Corneal Geometry Model*, wysłane do *Inverse Problems*,
11. W.Okrański, Ł.Płociniczak, *Bessel Function Model for Corneal Topography*, wysłane do *Applied Mathematics and Computation*,